

Starkniederschlagshöhen und -spenden gemäß KOSTRA-DWD-2010R

Auswertungszeitraum von 1951 - 2010, Januar - Dezember

Rasterfeld: 91034

Zeile: 91

Spalte: 34

Seite: 1/2

| Dauerstufe D | Wiederkehrzeit T | | | | | | | | | | | | | | | | | | |
|--------------|------------------|------|------------|------|------------|------|------------|------|------------|------|------------|------|------------|------|------------|-------|------------|-------|------------|
| | 1 a | | 2 a | | 3 a | | 5 a | | 10 a | | 20 a | | 30 a | | 50 a | | 100 a | | |
| min | Std | mm | l / (s ha) | mm | l / (s ha) | mm | l / (s ha) | mm | l / (s ha) | mm | l / (s ha) | mm | l / (s ha) | mm | l / (s ha) | mm | l / (s ha) | mm | l / (s ha) |
| 5 | | 5,2 | 173,3 | 7,0 | 233,3 | 8,0 | 266,7 | 9,3 | 310,0 | 11,1 | 370,0 | 12,9 | 430,0 | 14,0 | 466,7 | 15,3 | 510,0 | 17,1 | 570,0 |
| 10 | | 8,3 | 138,3 | 10,6 | 176,7 | 12,0 | 200,0 | 13,7 | 228,3 | 16,1 | 268,3 | 18,4 | 306,7 | 19,8 | 330,0 | 21,6 | 360,0 | 23,9 | 398,3 |
| 15 | | 10,3 | 114,4 | 13,1 | 145,6 | 14,7 | 163,3 | 16,7 | 185,6 | 19,5 | 216,7 | 22,3 | 247,8 | 23,9 | 265,6 | 25,9 | 287,8 | 28,7 | 318,9 |
| 20 | | 11,8 | 98,3 | 14,9 | 124,2 | 16,7 | 139,2 | 19,0 | 158,3 | 22,1 | 184,2 | 25,2 | 210,0 | 27,0 | 225,0 | 29,3 | 244,2 | 32,4 | 270,0 |
| 30 | | 13,7 | 76,1 | 17,3 | 96,1 | 19,5 | 108,3 | 22,2 | 123,3 | 25,8 | 143,3 | 29,5 | 163,9 | 31,6 | 175,6 | 34,3 | 190,6 | 37,9 | 210,6 |
| 45 | | 15,4 | 57,0 | 19,7 | 73,0 | 22,2 | 82,2 | 25,3 | 93,7 | 29,6 | 109,6 | 33,9 | 125,6 | 36,4 | 134,8 | 39,6 | 146,7 | 43,8 | 162,2 |
| 60 | | 16,4 | 45,6 | 21,2 | 58,9 | 24,0 | 66,7 | 27,5 | 76,4 | 32,3 | 89,7 | 37,2 | 103,3 | 40,0 | 111,1 | 43,5 | 120,8 | 48,3 | 134,2 |
| 90 | | 18,3 | 33,9 | 23,3 | 43,1 | 26,2 | 48,5 | 29,9 | 55,4 | 35,0 | 64,8 | 40,0 | 74,1 | 42,9 | 79,4 | 46,6 | 86,3 | 51,6 | 95,6 |
| 120 | 2 | 19,7 | 27,4 | 24,9 | 34,6 | 28,0 | 38,9 | 31,8 | 44,2 | 37,0 | 51,4 | 42,1 | 58,5 | 45,2 | 62,8 | 49,0 | 68,1 | 54,2 | 75,3 |
| 180 | 3 | 22,0 | 20,4 | 27,4 | 25,4 | 30,6 | 28,3 | 34,6 | 32,0 | 40,0 | 37,0 | 45,4 | 42,0 | 48,6 | 45,0 | 52,6 | 48,7 | 58,0 | 53,7 |
| 240 | 4 | 23,8 | 16,5 | 29,4 | 20,4 | 32,6 | 22,6 | 36,7 | 25,5 | 42,3 | 29,4 | 47,9 | 33,3 | 51,2 | 35,6 | 55,3 | 38,4 | 60,9 | 42,3 |
| 360 | 6 | 26,5 | 12,3 | 32,3 | 15,0 | 35,8 | 16,6 | 40,1 | 18,6 | 45,9 | 21,3 | 51,8 | 24,0 | 55,2 | 25,6 | 59,5 | 27,5 | 65,3 | 30,2 |
| 540 | 9 | 29,5 | 9,1 | 35,6 | 11,0 | 39,2 | 12,1 | 43,7 | 13,5 | 49,8 | 15,4 | 55,9 | 17,3 | 59,5 | 18,4 | 64,0 | 19,8 | 70,1 | 21,6 |
| 720 | 12 | 31,9 | 7,4 | 38,2 | 8,8 | 41,9 | 9,7 | 46,5 | 10,8 | 52,8 | 12,2 | 59,1 | 13,7 | 62,8 | 14,5 | 67,5 | 15,6 | 73,8 | 17,1 |
| 1080 | 18 | 35,6 | 5,5 | 42,1 | 6,5 | 46,0 | 7,1 | 50,9 | 7,9 | 57,5 | 8,9 | 64,0 | 9,9 | 67,9 | 10,5 | 72,8 | 11,2 | 79,4 | 12,3 |
| 1440 | 24 | 38,4 | 4,4 | 45,2 | 5,2 | 49,2 | 5,7 | 54,2 | 6,3 | 61,0 | 7,1 | 67,8 | 7,8 | 71,8 | 8,3 | 76,8 | 8,9 | 83,6 | 9,7 |
| 2880 | 48 | 46,9 | 2,7 | 55,1 | 3,2 | 59,9 | 3,5 | 65,9 | 3,8 | 74,1 | 4,3 | 82,3 | 4,8 | 87,1 | 5,0 | 93,2 | 5,4 | 101,4 | 5,9 |
| 4320 | 72 | 52,7 | 2,0 | 61,7 | 2,4 | 67,0 | 2,6 | 73,6 | 2,8 | 82,6 | 3,2 | 91,7 | 3,5 | 96,9 | 3,7 | 103,6 | 4,0 | 112,6 | 4,3 |

Angaben in mm: Bemessungsniederschlagswerte h(n)

Angaben in l / (s ha): Regenspende R(n) mit $R(n) = h(n) \times 1,666667 / D[\text{min}]$

Toleranzbereiche:

+/- 10 % für $1 \text{ a} \leq T \leq 5 \text{ a}$

+/- 15 % für $5 \text{ a} < T \leq 50 \text{ a}$

+/- 20 % für $50 \text{ a} < T \leq 100 \text{ a}$

Datenbasis: KOSTRA-DWD-2010R des Deutschen Wetterdienstes. Die Regenspende wurde auf Basis des Bemessungsniederschlags zur jeweiligen Andauer berechnet.

Für die Richtigkeit und Aktualität der Angaben wird keine Gewähr übernommen. Erstellt 07/2022.

Starkniederschlagshöhen und -spenden gemäß KOSTRA-DWD-2010R

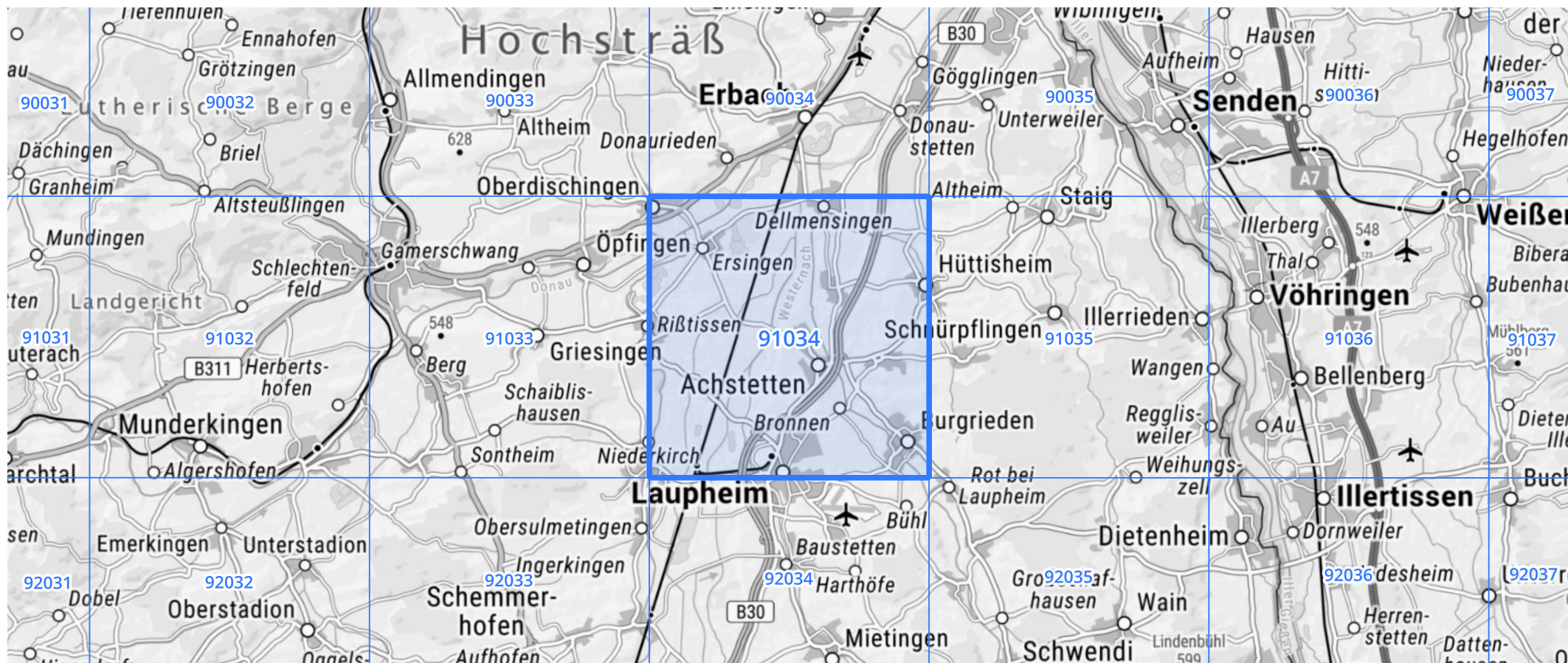
Auswertungszeitraum von 1951 - 2010, Januar - Dezember

Rasterfeld: 91034

Zeile: 91

Spalte: 34

Seite: 2/2



Quelle Rasterdaten: KOSTRA-DWD-2010R des Deutschen Wetterdienstes.

Kartendarstellung: © Bundesamt für Kartographie und Geodäsie (2022), Datenquellen: https://sgx.geodatenzentrum.de/web_public/gdz/datenquellen/Datenquellen_TopPlusOpen.html

Für die Richtigkeit und Aktualität der Angaben wird keine Gewähr übernommen. Erstellt 07/2022.